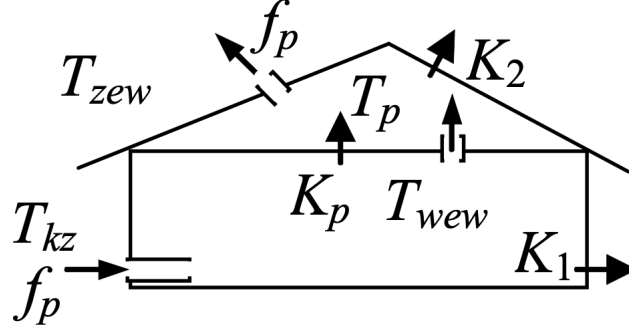


# Miniprojekt

Autor: Aleksander Łyskawa 275 462

Data: 19.01.2024, Termin: pt. godz. 13:15



Rysunek 1: Ogrzewanie klimatyzowanego domu i poddasza

Nieliniowy model obiektu:

$$\begin{cases} C_{vv} \dot{T}_{wew}(t) = c_p \rho_p f_p(t) (T_{kz}(t) - T_{wew}(t)) - K_1 (T_{wew}(t) - T_{zew}(t)) - K_p (T_{wew}(t) - T_p(t)) \\ C_{vp} \dot{T}_p(t) = c_p \rho_p f_p(t) (T_{wew}(t) - T_p(t)) + K_p (T_{wew}(t) - T_p(t)) - K_2 (T_p(t) - T_{zew}(t)) \end{cases}$$

## 1 Schematy z blokami całkującymi

### 1.1 wzory do identyfikacji współczynników i obliczania punktów równowagi

Wzory na współczynniki przenikalności cieplnej:

$$\begin{cases} K_1 = \frac{c_p \rho_p f_{pN} (T_{kN} - T_{pN})}{(T_{wN} + 2T_{pN} - 3T_{zN})} \\ K_2 = \frac{2c_p \rho_p f_{pN} (T_{kN} - T_{pN})}{T_{wN} + 2T_{pN} - 3T_{zN}} \\ K_p = \frac{2c_p \rho_p f_{pN} (T_{kN} - T_{pN})(T_{pN} - T_{zN})}{(T_{wN} - T_{pN})(T_{wN} + 2T_{pN} - 3T_{zN}) - c_p \rho_p f_{pN}}; \\ f_{pN} = \frac{q_{kN}}{c_p \rho_p T_{kN}}; \end{cases}$$

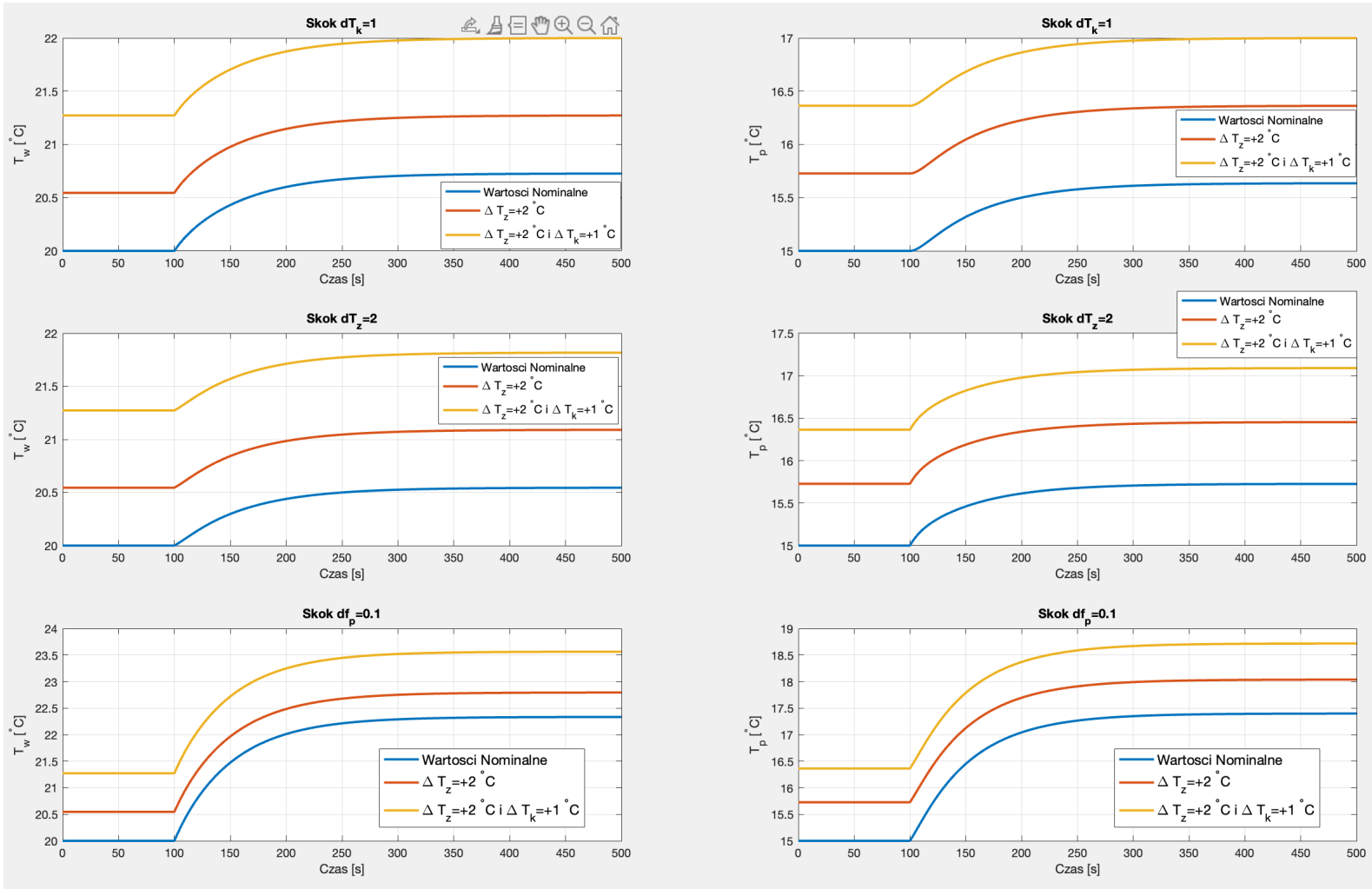
Wzory na warunki początkowe:

$$\begin{bmatrix} T_{w0} \\ T_{p0} \end{bmatrix} = \text{-inv} \begin{bmatrix} -c_p \rho_p f_p - K_p - K_1 & K_p \\ c_p \rho_p f_p + K_p & -c_p \rho_p f_p - K_2 - K_p \end{bmatrix} \begin{bmatrix} K_1 & c_p \rho_p f_p \\ K_2 & 0 \end{bmatrix} \begin{bmatrix} T_{z0} \\ T_{k0} \end{bmatrix}$$

### 1.2 Wartości liczbowe zidentyfikowanych współczynników

$$\begin{cases} K_1 \approx 103 \frac{W}{^\circ C} \\ K_2 \approx 208 \frac{W}{^\circ C} \\ K_p \approx 883 \frac{W}{^\circ C} \\ f_{pN} \approx 0.48 \frac{m^3}{s} \end{cases}$$

## 2 Odpowiedzi skokowe modelu nieliniowego



Rysunek 2: Odpowiedzi skokowe modelu nieliniowego, dla trzech różnych punktów pracy

## 3 Schematy z blokami StateSpace i TransferFcn

### 3.1 Równania stanu

$$\begin{bmatrix} \dot{T}_w \\ \dot{T}_p \end{bmatrix} = \begin{bmatrix} -\left(\frac{c_p \cdot \rho_p \cdot f_p + K_1 + K_p}{C_{vw}}\right) & \frac{K_1}{C_{vw}} \\ \frac{c_p \cdot \rho_p \cdot f_p + K_p}{C_{vp}} & -\left(\frac{c_p \cdot \rho_p \cdot f_p + K_p + K_2}{C_{vp}}\right) \end{bmatrix} \begin{bmatrix} T_w \\ T_p \end{bmatrix} + \begin{bmatrix} \frac{K_1}{C_{vw}} & \frac{c_p \cdot \rho_p \cdot f_p}{C_{vw}} \\ \frac{K_2}{C_{vp}} & 0 \end{bmatrix} \begin{bmatrix} T_z \\ T_k \end{bmatrix}$$

### 3.2 Transmitancje

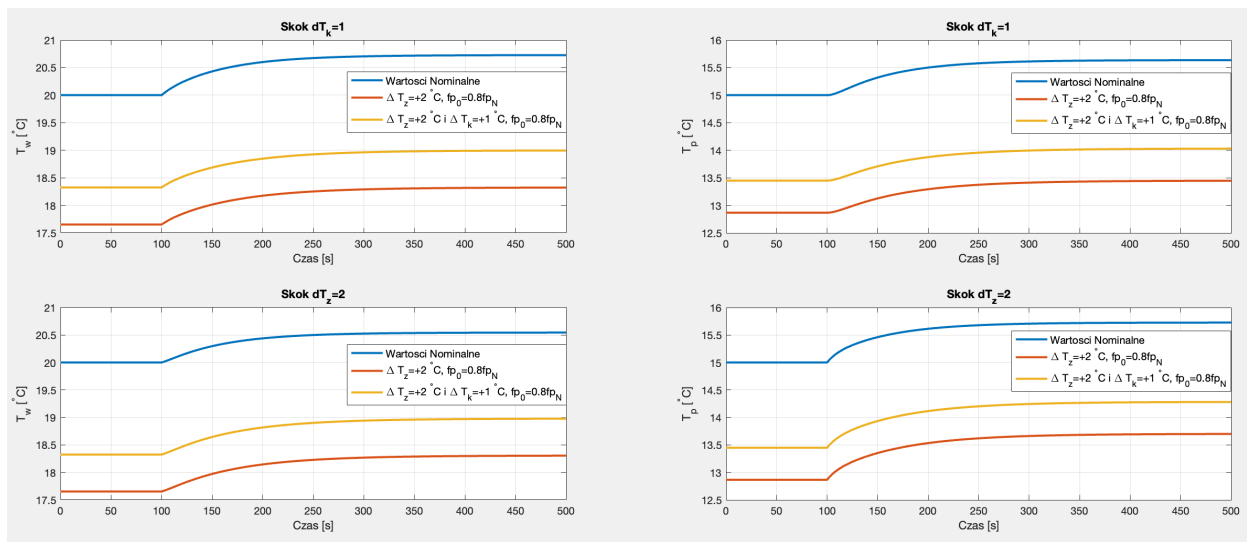
$$M(s) = s^2(C_{vw}C_{vp}) + s(C_{vw}(c_p\rho_p f_p + K_p + K_2) + C_{vp}(c_p\rho_p f_p + K_1 + K_p)) + c_p\rho_p f_p(c_p\rho_p f_p + K_1 + K_2 + K_p) + K_1K_p + K_1K_2 + K_pK_2; \quad (1)$$

$$T_w = \frac{s(K_1C_{vp}) + K_1c_p\rho_p f_p + K_pK_1 + K_2K_2 + K_2K_p}{M(s)}T_z + \frac{s(C_{vp}c_p\rho_p f_p) + c_p\rho_p f_p(c_p\rho_p f_p + K_p + K_2)}{M(s)}T_k \quad (2)$$

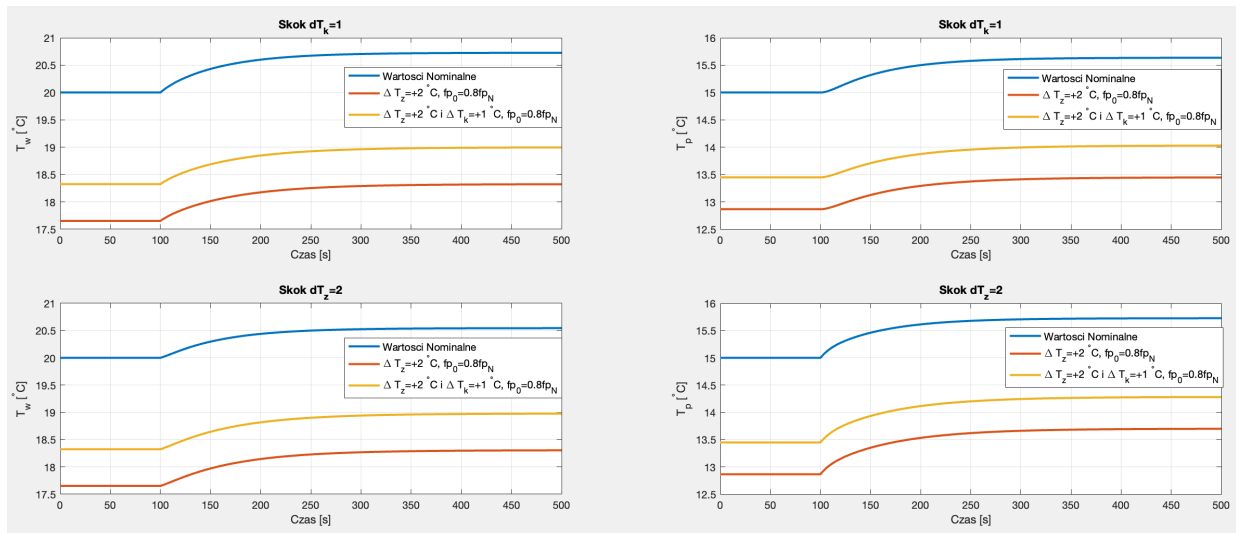
$$T_p = \frac{s(K_2C_{vw}) + K_2c_p\rho_p f_p + K_2K_1 + K_2K_p + K_1c_p\rho_p f_p + K_1K_p}{m}T_z + \frac{c_p\rho_p f_p(c_p\rho_p f_p + K_p)}{M(s)}T_k \quad (3)$$

### 3.3 Odpowiedzi skokowe modelu z równaniami stanu

### 3.4 Odpowiedzi skokowe modelu z transmitancjami



Rysunek 3: Odpowiedzi skokowe modelu liniowego state space, dla dwóch różnych punktów pracy



Rysunek 4: Odpowiedzi skokowe modelu liniowego transmitancji, dla trzech różnych punktów pracy

## 4 Wnioski

- Porównując wykresy z wartościami nominalnymi z układu nieliniowego do wykresów z modelu liniowego transmitancji i równań stanu widać, że są one identyczne, co potwierdza poprawność wykonanego modelu.
- Na wykresach odpowiedzi skokowych z modelu transmitancji i równań stanu widać, że zmiana parametru przepływu powoduje zmianę czasu stabilizacji temperatury.
- Z rysunku nr 3 i 4 można wywnioskować, że układ liniowy reaguje na jednakowe zakłócenie tak samo w różnych punktach pracy, gdzie układ nieliniowy z rysunku nr 2 ma różne reakcje na skoki